

uma combinação linear de funções  $\phi_i(x)$  tal que:

Assume-se que a solução pode ser obtida considerando a função  $u(x)$  como

$$\text{com as condições de contorno } y(x_1) = y(x_2) = 0.$$

$$Y = \int_{x_2}^{x_1} F(x, y, y') dx$$

funcional:

Suponha-se, então, que se queria encontrar a função  $u(x)$  que minimiza o

para a solução do problema.

Adéquada das funções  $\phi_i(x)$  é importante para se obter uma boa aproximação

A função  $u(x)$  é uma solução aproximada e não exata como  $y(x)$ ! A escolha

funcões  $\phi_i(x)$ . Apesar de  $u(x)$  não funcional, este é minimizado.

No método de Rayleigh-Ritz, a função  $y(x)$  (suposta exata) é substituída

por uma função aproximada  $u(x)$ , formada por uma combinação linear de

admissíveis é a solução exata para minimizar um determinado funcional.

No cálculo variacional, procura-se a função  $y(x)$  que dentre todas as funções

### 3.1 Método de Rayleigh-Ritz

O leitor interessado em conhecer os outros métodos pode recorrer aos autores: Reddy (1988), Seegerlind e Cook além de outros.

Os métodos de Rayleigh-Ritz e de Galerkin são os mais conhecidos e delas originem o método dos elementos finitos; por essa razão, apenas esses dois são descritos a seguir.

Os métodos de Rayleigh-Ritz e de Galerkin são os mais conhecidos e delas originem o método dos elementos finitos; por essa razão, apenas esses dois

cada, do subdomínio e de Galerkin.

Os seguidos compreendem os métodos dos mínimos quadrados, da colo-

Treffz e de Rayleigh-Ritz.

Dentre os primeiros, podem ser citados os métodos de Kantorovich, de

variaciais e os dos resíduos ponderados.

Aproximados para sua solução, podem-se destacar dois tipos de métodos: os

to de muitos problemas de engenharia levou ao desenvolvimento de métodos

A complexidade do modelo matemático que representa o comportamen-

## Métodos aproximados

### Capítulo 3

$$y(x) \cong v(x) = \sum_{i=1}^n a_i \phi_i(x) \quad (3.1)$$

As funções  $\phi_i(x)$ , denominadas *funções de forma*, são funções linearmente independentes e cada uma delas individualmente satisfaz as condições de contorno:

$$\phi_i(x_1) = \phi_i(x_2) = 0 \quad ; \quad i = 1, 2, \dots, n \quad (3.2)$$

Essas funções são contínuas até o grau  $m - 1$ , sendo  $m$  a ordem da maior derivada do funcional.

Os coeficientes  $a_i$ , a serem determinados, são denominados *parâmetros de deslocamentos*<sup>1</sup> e a função  $v(x)$  é conhecida como *função aproximadora*.

Substituindo  $y$  por  $v$  no funcional e impondo a condição de estacionariedade (mínimo), tem-se:

$$\delta Y = \frac{\partial Y}{\partial a_1} \delta a_1 + \frac{\partial Y}{\partial a_2} \delta a_2 + \dots + \frac{\partial Y}{\partial a_n} \delta a_n = 0 \quad (3.3)$$

Como as variações  $\delta a_i$  são arbitrárias, a equação (3.3) se transforma em um sistema de equações homogêneas da forma:

$$\frac{\partial Y}{\partial a_i} = 0 \quad ; \quad i = 1, 2, \dots, n \quad (3.4)$$

Se  $Y$  é uma função quadrática de  $\phi_i$  e  $\phi'_i$ , então essas equações são lineares em  $a_i$ .

Aumentando o número  $n$  de termos da função  $v(x)$ , a solução, em geral, é melhorada, e para que se obtenha uma seqüência de soluções convergentes para a solução exata, as seguintes condições devem ser satisfeitas:

- a) as funções aproximadoras  $v(x)$  devem ser contínuas até uma ordem menor do que a maior derivada do integrando,
- b) cada função  $\phi_i(x)$  deve satisfazer, individualmente, as condições essenciais de contorno e
- c) a seqüência de funções deve ser completa. Diz-se que  $v(x)$  é completa quando a seguinte condição é satisfeita:

$$\lim_{n \rightarrow \infty} \int_{x_1}^{x_2} (y - \sum_{i=1}^n a_i \phi_i)^2 dx < \lambda$$

sendo  $\lambda$  um número tão pequeno como se deseja.

As funções que satisfazem as duas primeiras condições são chamadas admissíveis.

---

<sup>1</sup> Mais à frente, serão denominados *parâmetros nodais*.

2 A partir de agora, passa-se a desenhar por II o funcional energético potencial total.

$$u_1(x) = a_2(x^2 - lx) \quad (3.9)$$

A função  $u_1(x)$  fica, assim, com a seguinte expressão:

$$\text{de } u_1(0) = 0 \text{ tem-se } a_0 = 0 \text{ e de } u_1(l) = 0 \text{ tem-se } a_1 = -a_2l$$

Considerando as condições de contorno, pode-se escrever que:

$$u_1(x) = a_0 + a_1x + a_2x^2 \quad (3.8)$$

lhamojo:

Toma-se como primeira aproximação para a função  $u(x)$  o seguinte po-

$$xp(x) \int_0^l - xp \left[ \frac{d^2 u(x)}{dx^2} \right] = II = \int_0^l EI \left[ \frac{d^2 u(x)}{dx^2} \right]^2 \quad (3.7)$$

igualdade (2.24)]:

o funcional que caracteriza a energia potencial total<sup>2</sup> da viga dado por [ver

o funcional que caracteraiza a energia potencial total<sup>2</sup> da viga dado por [ver

o funcional que caracteraiza a energia potencial total<sup>2</sup> da viga dado por [ver

Exemplo 1

[condição c)].

Essa convergência para a solução exata é chamada monotônica, e as igualdades (3.5) formam uma seqüência monótona. Utilizando uma seqüência monótonica do funcional. Observe-se que, para a solução convergir para a solução exata, as funções devem ser admissíveis [condição a) e b)] e completas

$$Y_{(1)} \leq Y_{(2)} \leq \cdots \leq Y_{(n)} \quad (3.6)$$

condição é verificada:

Uma vez que a  $n$ -ésima função aproximadora inclui todas as funções consideradas anterior e  $Y$  é minimizado em cada passo, então a seguinte

$$\begin{aligned} u_{(n)} &= a_{(n)}^1 \phi_{(n)}^1 + a_{(n)}^2 \phi_{(n)}^2 + \cdots + a_{(n)}^{\zeta} \phi_{(n)}^{\zeta} \\ &\vdots \\ u_{(2)} &= a_{(2)}^1 \phi_{(2)}^1 + a_{(2)}^2 \phi_{(2)}^2 \\ u_{(1)} &= a_{(1)}^1 \phi_{(1)}^1 \end{aligned} \quad (3.5)$$

seqüência:

Para verificar a convergência do método é preciso considerar duas ou mais tentativas para a função aproximadora. A convergência é verificada comparação sucessivos valores  $Y_{(i)}$  do funcional minimizado obtido com a seguinte

Derivando  $v_1(x)$  e substituindo no funcional  $\Pi$  dado por (3.7), obtém-se:

$$\Pi = \int_0^l 2EIa_2^2 dx - \int_0^l qa_2(x^2 - lx) dx$$

A condição de estacionariedade exige que:

$$\delta\Pi = \frac{\partial\Pi}{\partial a_2} \delta a_2 = 0$$

Como  $\delta a_2$  é arbitrário, resulta que:

$$\frac{\partial\Pi}{\partial a_2} = \int_0^l 4EIa_2 dx - \int_0^l q(x^2 - lx) dx = 0$$

Integrando e resolvendo, obtém-se:

$$a_2 = -\frac{ql^2}{24EI}$$

A função  $v_1(x)$  passa a ter a forma:

$$v_1(x) = -\frac{ql^2}{24EI}(x^2 - lx) \quad (3.10)$$

Os esforços internos<sup>3</sup> são:

$$M\left(\frac{l}{2}\right) = -EIv_1'' = -\frac{ql^2}{12}$$

$$V(0) = -EIv_1''' = 0 \quad (3.11)$$

e a energia potencial total  $\Pi_1$  vale:

$$\Pi_1 = -\frac{q^2 l^5}{288EI} \quad (3.12)$$

Como se vê, os esforços obtidos em (3.11) e a máxima deflexão dada por  $\frac{ql^4}{96EI}$  não correspondem aos valores corretos.

Como segunda aproximação, adota-se a função:

$$v_2(x) = a_0 + a_1x + a_2x^2 + a_3x^3$$

---

<sup>3</sup> Lembrar que, de acordo com a orientação do eixo  $v(x)$  da Figura 2.4, a carga  $q$  é negativa. Portanto os valores encontrados para os deslocamentos e esforços devem ser multiplicados por  $(-1)$ .

$$\frac{\partial a_4}{\partial l} = \int_l^0 EI(48a_2x^2 + 144a_3x^3 + 288a_4x^4)dx - \int_l^0 q(x^4 - l^3x)dx = 0 \quad (3.16)$$

$$0 = xp(xl - l^2)x^3 \int_l^0 - xp(x^2 - l^2x)dx = \int_l^0 EI(24a_2x^2 + 12a_3x^3 + 144a_4x^4)dx - \int_l^0 q(x^2 - l^2x)dx = 0$$

$$0 = \int_l^0 EI(4a_2^2 + 12a_3x + 24a_4x^2)dx - \int_l^0 q(x^2 - l^2x)dx =$$

A condição de mínimo para a energia é dada por:

$$u_3(x) = a_2(x^2 - l^2) + a_3(x^3 - l^2x) + a_4(x^4 - l^3x) \quad (3.15)$$

A função aproximadora tem a seguinte expressão:

$$\text{de } u_3(l) = 0, \text{ tem-se } a_1 + a_2l + a_3l^2 + a_4l^3 = 0 \quad \text{ou} \quad a_1 = -a_2l - a_3l^2 - a_4l^3$$

$$\text{de } u_3(0) = 0, \text{ tem-se } a_0 =$$

e considerando as condições de contorno, tem-se:

$$u_3(x) = a_0 + a_1x + a_2x^2 + a_3x^3 + a_4x^4$$

Admitindo uma terceira função aproximadora dada por:

segundo, então, a função  $u_2$  igual à anterior.

$$a_2 = -\frac{24EI}{ql^2} \quad e \quad a_3 = 0$$

Resolvendo esse sistema de equações, obtém-se:

$$0 = xp(xl - l^2)x^3 \int_l^0 - xp(x^2 - l^2x)dx = \int_l^0 EI(12a_2 + 36a_3x)dx - \int_l^0 q(x^3 - l^2x)dx = 0 \quad (3.14)$$

$$0 = xp(xl - l^2)x^2 \int_l^0 - xp(x^3 - l^2x)dx = \int_l^0 EI(4a_2 + 12a_3x)dx - \int_l^0 q(x^2 - l^2x)dx = 0$$

A condição de mínimo é dada por:

$$u_2(x) = a_2(x^2 - l^2) + a_3(x^3 - l^2x) \quad (3.13)$$

A função aproximadora fica:

$$\text{de } u_2(l) = 0, \text{ tem-se } a_1 + a_2l + a_3l^2 = 0 \quad \text{ou} \quad a_1 = -a_2l - a_3l^2$$

$$\text{para } u_2(0) = 0, \text{ tem-se } a_0 = 0$$

Impõndo as condições de contorno:

### 3.1. Método de Rayleigh-Ritz

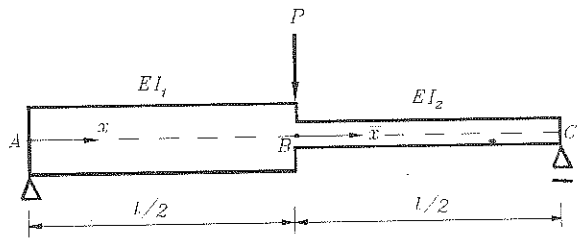


Figura 3.1: Viga com seção variável.

A solução desse sistema de equações fornece:

$$a_2 = 0 \quad ; \quad a_3 = -\frac{ql}{12EI} \quad ; \quad a_4 = \frac{q}{24EI}$$

Substituindo esses valores em (3.15), obtém-se a forma final da função aproximadora:

$$v_3(x) = \frac{ql^4}{48EI} [2(\frac{x}{l})^4 - 4(\frac{x}{l})^3 + 2(\frac{x}{l})] \quad (3.17)$$

A máxima deflexão vale:

$$v_3(\frac{l}{2}) = \frac{5ql^4}{384EI}$$

que é o valor exato.

Os esforços internos são:

$$M(\frac{l}{2}) = \frac{ql^2}{8} \quad e \quad V(0) = \frac{ql}{2}$$

Esses valores também são os corretos. Observa-se também que a derivada quarta de  $v_3(x)$  é igual à carga aplicada à viga dividida pela rigidez  $EI$ .

A energia de deformação total para esse caso vale:

$$\Pi_3 = -\frac{q^2 l^5}{240EI}$$

Nota-se, comparando os valores obtidos para a energia de deformação total, para cada aproximação utilizada, que:

$$\Pi_1 \geq \Pi_2 \geq \Pi_3$$

$$II = \frac{3}{4} EI l^3 a_3^2 + EI^2 \left( \frac{l}{l^2 a_1^2} + 12 l a_1 a_3 + 3 l^3 a_3^2 \right) - \frac{1}{2} Pl \left( a_1 + \frac{4}{l^2} a_3 \right)$$

Substituindo as derivadas segundas de (3.21) e (3.22), obtém-se:

$$II = \frac{2}{l} EI_l \int_{\frac{l}{2}}^0 (u'_1)^2 dx + \frac{1}{l} EI^2 \int_{\frac{l}{2}}^0 (u''_1)^2 dx - \frac{1}{2} Pl \left( a_1 + \frac{4}{l^2} a_3 \right)$$

O funcional que representa a energia potencial total para a viga toda é:

$$u_2(x) = \frac{2}{l} l a_1 + \frac{8}{l^3} a_3 + (a_1 + \frac{4}{3} l^2 a_3)x - (\frac{l}{6} a_1 + 3 l a_3)x^2 + (\frac{l^2}{4} a_1 + 2 a_3)x^3 \quad (3.22)$$

$$u_1(x) = a_1 x + a_3 x^3 \quad (3.21)$$

sendo, então, as funções aproximadoras dadas por:

$$\begin{aligned} b_3 &= \frac{l^2 a_1}{4} + 2 a_3 \\ b_2 &= -\frac{l}{6} a_1 - 3 a_3 \\ b_1 &= a_1 + \frac{4}{3} a_3 l^3 \\ b_0 &= \frac{2}{l} a_1 l + \frac{8}{l^3} a_3 l^3 \end{aligned} \quad (3.20)$$

e determinando os coeficientes  $b_i$ , em função dos  $a_i$ , tem-se:

$$u_1\left(\frac{l}{2}\right) = u_2(0) \quad \text{e} \quad u'_1\left(\frac{l}{2}\right) = u''_2(0)$$

as condições de compatibilidade no ponto B:

$$0 = u_1(0) = u_2\left(\frac{l}{2}\right) = 0 \quad \text{e} \quad u''_1(0) = u''_2\left(\frac{l}{2}\right) = 0$$

Impõe-se as condições de contorno:

$$u_2(x) = b_0 + b_1 x + b_2 x^2 + b_3 x^3 \quad \text{trecho BC} \quad (3.19)$$

$$u_1(x) = a_0 + a_1 x + a_2 x^2 + a_3 x^3 \quad \text{trecho AB} \quad (3.18)$$

trecho BC:

funções aproximadoras de terceiro grau: uma para o trecho AB e outra para o

trecho BC. Porém no ponto B há variação brusca da rigidez  $EI$ , são adotadas duas

Como segundo exemplo, considerar a viga de seção variável da Figura 3.1.

## Exemplo 2

A condição de estacionariedade do funcional permite determinar  $a_1$  e  $a_3$  da seguinte forma:

$$\frac{\partial \Pi}{\partial a_1} = 0 \quad \text{então} \quad a_1 = \frac{Pl^2}{48EI_2} - \frac{1}{2}l^2a_3 \quad (3.23)$$

e

$$\frac{\partial \Pi}{\partial a_3} = 0 \quad \text{então} \quad a_3 = -\frac{P}{12EI_1}$$

que substituído em (3.23) fornece:

$$a_1 = \frac{Pl^2}{48E} \left( \frac{1}{I_2} + \frac{2}{I_1} \right)$$

Substituindo  $a_1$  e  $a_3$ , determinados acima, nas igualdades (3.20), obtém-se os valores de  $b_i$ :

$$b_0 = \frac{Pl^3}{96E} \left( \frac{1}{I_1} + \frac{1}{I_2} \right)$$

$$b_1 = \frac{Pl^2}{48E} \left( \frac{1}{I_2} - \frac{1}{I_1} \right)$$

$$b_2 = -\frac{Pl}{8EI_2}$$

$$b_3 = \frac{P}{12EI_2}$$

Tendo determinado os coeficientes  $a_i$  e  $b_i$ , as funções aproximadoras resultam:

$$v_1(x) = \frac{P}{48EI_1} \left[ -4x^3 + \left( 2 + \frac{I_1}{I_2} \right) l^2 x \right]$$

e

$$v_2(\bar{x}) = \frac{P}{96EI_2} \left[ 8\bar{x}^3 - 12l\bar{x}^2 + 2 \left( 1 - \frac{I_2}{I_1} \right) l^2 \bar{x} + \left( 1 + \frac{I_2}{I_1} \right) l^3 \right]$$

que são as representações exatas das deflexões do eixo baricêntrico da viga. Se  $I_1 = I_2 = I$ , então:

$$v_1(x) = \frac{P}{48EI} (-4x^3 + 3l^2 x) \quad (3.24)$$

e

$$v_2(\bar{x}) = \frac{P}{96EI} (8\bar{x}^3 - 12l\bar{x}^2 + 2l^3) \quad (3.25)$$

$$e = L\bar{u} - f \quad (3.28)$$

então, um erro dado por:

Substituindo  $\bar{u}$  por  $\bar{u}$ , a igualdade (3.26) não mais se verifica, havendo, onde  $\phi$ , ~~são funções~~ que satisfazem as condições de controle do problema.

$$\bar{u} = \sum_u a_i \phi_i \quad (3.27)$$

Admite-se uma função approximadora  $\bar{u}$  para a forma:

onde  $L$  é um operador e a função  $\bar{u}$  satisfaz certas condições de controle.

$$L\bar{u} = f \quad (3.26)$$

Supõe-se um sistema de equações lineares da forma:  
condição de ortogonalidade.

Ponderadora é suposto igual a zero no domínio da integral, determinando de funções ponderadoras, é o produto entre a função residual e cada função ponderadora, tem-se um ou mais resíduos que devem ser ponderados através diferenciais, tanto que a solução exata da equação diferencial, ou do sistema de equações não são, a solução approximadora, ou as funções approximadoras, não é, ou approximadoras que devem satisfazer as condições de controle.

Como a função approximadora, ou as funções approximadoras, não é, ou pelo método de Galerkin, substitui-se nela, ou nela, uma ou mais funções para resolver um sistema de equações diferenciais, ou uma função produz os mesmos resultados para alguns casos, como seria visto adiante.

Embora seja diferente do método de Rayleigh-Ritz, o método de Galerkin resolve diretamente a equação diferencial (forma forte) que descreve matematicamente o problema a ser analisado.

O método de Galerkin não requer a existência de um funcional. Ele utiliza diretamente a equação diferencial (forma forte) que descreve matematicamente os mesmos resultados para alguns casos, como seria visto adiante.

## 3.2 Método de Galerkin

nométricas.

As funções approximadoras mais comumente utilizadas são polinomiais e trigonométricas.  
Esse é, pois, o procedimento para se empregar o método de Rayleigh-Ritz.

Partir de  $C$  em direção a  $B$ , as igualdades (3.24) e (3.25) igualam-se, e os coeficientes  $a_i$  ficam iguais aos  $b_i$ .

Note-se que, mudando a origem das coordenadas  $x$ , passando a orientá-las

valor exato da diferença nesse ponto.

$$u_1\left(\frac{l}{2}\right) = u_2(0) = \frac{48EI}{Pl^3}$$

No ponto  $B$ , tem-se:

### 3.2. Método de Galerkin

O método de Galerkin exprime a condição de ortogonalidade entre a função  $\epsilon$  e as funções ponderadoras  $\phi_i$ , resultando:

$$\int_V (L\bar{v} - f)\phi_i dV = 0 \quad ; \quad i = 1, 2, \dots, n \quad (3.29)$$

Os coeficientes  $a_i$  provêm da solução do sistema de  $n$  equações representado pela igualdade (3.29). Os coeficientes  $a_i$  são determinados, então, de modo que os resíduos se anulem em cada integração ponderada.

### Exemplo 3

Resolver o problema da viga da Figura 2.4. A energia potencial total é representada pela igualdade (3.7).

A primeira variação do funcional  $\Pi$  fornece:

$$\delta\Pi = \int_0^l \left( EI \frac{d^2v}{dx^2} \frac{d^2\delta v}{dx^2} - q\delta v \right) dx$$

Integrando por partes a última igualdade e anulando-a, tem-se:

$$\int_0^l \left( EI \frac{d^4v}{dx^4} - q \right) \delta v dx + EI \frac{d^2v}{dx^2} \frac{d\delta v}{dx} \Big|_0^l - EI \frac{d^3v}{dx^3} \delta v \Big|_0^l = 0$$

Lembrando que:

$$V = -EI \frac{d^3v}{dx^3} \quad \text{força cortante}$$

e

$$M = -EI \frac{d^2v}{dx^2} \quad \text{momento fletor}$$

essa equação fica:

$$\int_0^l \left( EI \frac{d^4v}{dx^4} - q \right) \delta v dx - M \frac{d\delta v}{dx} \Big|_0^l + V \delta v \Big|_0^l = 0$$

Se houver força cortante  $V^*$  e momento fletor  $M^*$  aplicados em ponto de coordenada  $x = x^*$  do eixo da viga, a essa equação devem ser acrescentados os termos:

$$-V^* \delta v \Big|_{x=x^*} \quad \text{e} \quad -M^* \frac{d\delta v}{dx} \Big|_{x=x^*}$$

Supondo que haja apenas a carga  $q$ , e as condições de contorno levam os dois últimos termos a se anularem, a equação acima reduz-se a:

$$\int_0^l \left( EI \frac{d^4v}{dx^4} - q \right) \delta v dx = 0 \quad (3.30)$$

operador  $L$ , resulta:

Reescrevendo a equação (3.32) com a derivada quarta de  $\underline{u}(x)$  no lugar do

$$\underline{u}_{IV}(x) = \frac{\ell^4}{\pi^4} \left[ a_1 \sin \frac{\pi x}{\ell} + 16a_2 \sin \frac{2\pi x}{\ell} + 81a_3 \sin \frac{3\pi x}{\ell} + 256a_4 \sin \frac{4\pi x}{\ell} \right]$$

A derivada de quarta ordem da função  $\underline{u}(x)$  é:  
que satisfaz as condições de contorno essenciais:  $\underline{u}(0) = 0$  e  $\underline{u}(\ell) = 0$ .

$$\underline{u}(x) = a_1 \sin \frac{\pi x}{\ell} + a_2 \sin \frac{2\pi x}{\ell} + a_3 \sin \frac{3\pi x}{\ell} + a_4 \sin \frac{4\pi x}{\ell} \quad (3.33)$$

serie trigonométrica:

Para resolver o problema proposto, supõe-se como função aproximadora a valência entre o método de Rayleigh-Ritz e o de Galerkin.

que é formalmente igual à equação (3.29), mostrando que neste caso há equi-

$$0 = \int_0^\ell (T\underline{u} - b)\phi_i dx \quad (3.32)$$

da qual resulta:

$$\int_0^\ell T\underline{u} \sum_u^i b \phi_i dx = \sum_u^i b \int_0^\ell T\underline{u} \phi_i dx$$

Desmembrando essa equação, tem-se:

$$0 = \sum_u^i b \int_0^\ell T\underline{u} \phi_i dx = \sum_u^i b \int_0^\ell (\underline{u} - T\underline{u}) \phi_i dx$$

que levada em (3.31) fornece:

$$\sum_u^i b \phi_i = \underline{u}$$

A variável dessa função é:

$$\sum_u^i a_i \phi_i = \underline{u}$$

Assimindo para a função aproximadora a forma:

$$0 = \int_0^\ell (T\underline{u} - b)\phi_i dx \quad (3.31)$$

com (3.29), como:

Sendo  $\underline{u} = \underline{u}(x)$  a função aproximada, (3.30) pode ser escrita, por analogia

2.4.

Notar que no item 2.5 obtive-se a mesma equação com a condição de esta-  
cionalidade do funcional energia potencial total para a mesma viés da Figura

2.4.

### 3.2. Método de Galerkin

$$\int_0^l (EI\bar{v}^{IV} - q)\phi_i dx = 0 \quad \text{com} \quad i = 1, 2, 3, 4$$

sendo  $\phi_i$  dado por:

$$\phi_1 = \sin \frac{\pi x}{l} \quad \phi_2 = \sin \frac{2\pi x}{l}$$

$$\phi_3 = \sin \frac{3\pi x}{l} \quad \phi_4 = \sin \frac{4\pi x}{l}$$

O resultado são quatro equações escritas como:

$$\int_0^l (EI\bar{v}^{IV} - q) \sin \frac{\pi x}{l} dx = 0$$

$$\int_0^l (EI\bar{v}^{IV} - q) \sin \frac{2\pi x}{l} dx = 0$$

$$\int_0^l (EI\bar{v}^{IV} - q) \sin \frac{3\pi x}{l} dx = 0$$

$$\int_0^l (EI\bar{v}^{IV} - q) \sin \frac{4\pi x}{l} dx = 0$$

A solução desse sistema de equações fornece:

$$a_1 = \frac{4ql^4}{\pi^5 EI}, \quad a_2 = 0, \quad a_3 = \frac{4ql^4}{243\pi^5 EI} \quad \text{e} \quad a_4 = 0$$

A função aproximadora, então, fica:

$$\bar{v}(x) = \frac{4ql^4}{\pi^5 EI} \left( \sin \frac{\pi x}{l} + \frac{1}{243} \sin \frac{3\pi x}{l} \right)$$

Para  $x = l/2$ , a deflexão vale:

$$f = \bar{v}\left(\frac{l}{2}\right) = \frac{ql^4}{76,8EI}$$

que é o valor exato.

$$\begin{aligned} \frac{6}{11}a_1 + \frac{3}{4}a_2 &= \frac{1}{2} \\ a_1 + \frac{5}{4}a_2 &= \frac{1}{1} \end{aligned}$$

o seguinte sistema de equações:

Substituindo as derivadas de  $u_2(x)$  em (3.37) e (3.38) e operando, obtém-se:

$$0 = xp(x - 1) \int_1^x \left( x + \frac{xp}{ap} + \frac{z}{a} \right) dz \quad (3.38)$$

$$0 = xp(x - 1) \int_1^x \left( x + \frac{xp}{ap} + \frac{xp}{a} \right) dz \quad (3.37)$$

tem-se:

$$u_2(x) = x(a_1 + x a_2) = x(a_1 + a_2)(1 - x)$$

Tomando como seguinte aproximação:

$$u_1(x) = \frac{1}{1-x} \quad (3.36)$$

e a primeira aproximação fica sendo:

$$a_1 = \frac{1}{1}$$

multiplicando e integrando resulta:

$$0 = xp(x - 1)(a_1 - 2xa_1 + x(1-x)) \int_1^0$$

Substituindo as derivadas de  $u_1$  em (3.35), obtém-se:

$$0 = xp(x - 1) \int_1^1 \left( x + \frac{dx}{ap} + \frac{xp}{a} \right) dz \quad (3.35)$$

tem-se:

$$u_1(x) = x(1-a_1)$$

Adotando como primeira aproximação para  $u_2$ :

$$u(0) = u(1) = 0.$$

$$0 = x \int_0^1 \left( \frac{dx}{a} + \frac{xp}{a} + \frac{dp}{a} \right) dz \quad (3.34)$$

a solução da seguinte equação diferencial:

Como outro exemplo de aplicação do método de Galerkin, seja encontrado

#### Exemplo 4

#### 3.2. Método de Galerkin

$\hat{s}$ 

cuja solução fornece:

$$a_1 = \frac{7}{29} \quad e \quad a_2 = \frac{5}{116}$$

Então, a segunda aproximação fica:

$$v_2(x) = x(1-x) \left( \frac{7}{29} + \frac{5}{116}x \right) \quad (3.39)$$

Supondo a terceira função aproximadora como sendo:

$$v_3(x) = x(1-x)(a_1 + xa_2 + x^2a_3)$$

tem-se:

$$\int_0^1 \left( \frac{d^2v}{dx^2} + \frac{dv}{dx} + x \right)_3 x(1-x)dx \quad (3.40)$$

$$\int_0^1 \left( \frac{d^2v}{dx^2} + \frac{dv}{dx} + x \right)_3 x^2(1-x)dx \quad (3.41)$$

$$\int_0^1 \left( \frac{d^2v}{dx^2} + \frac{dv}{dx} + x \right)_3 x^3(1-x)dx \quad (3.42)$$

Substituindo as derivadas de  $v_3(x)$  em (3.40), (3.41) e (3.42) e integrando, resulta o seguinte sistema de equações:

$$\begin{aligned} \frac{1}{3}a_1 + \frac{3}{20}a_2 + \frac{1}{12}a_3 &= \frac{1}{12} \\ \frac{11}{60}a_1 + \frac{1}{10}a_2 + \frac{2}{21}a_3 &= \frac{1}{20} \\ \frac{7}{60}a_1 + \frac{11}{105}a_2 + \frac{3}{35}a_3 &= \frac{1}{30} \end{aligned}$$

cuja solução fornece:

$$a_1 = 0,235671 \quad ; \quad a_2 = -0,018690 \quad ; \quad a_3 = 0,090958$$

A terceira função aproximadora fica sendo:

$$v_3(x) = x(1-x)(0,235671 - 0,018690x + 0,090958x^2)$$

A solução exata da equação diferencial (3.34) é:

$$v(x) = \frac{1}{2(\frac{1}{e} - 1)}(1 - e^{-x}) - \frac{1}{2}x^2 + x$$

sendo:  $a$  e  $b$  funções de  $x$ . A função  $f(x)$  é conhecida e a função  $v(x)$  que se quer determinar deve satisfazer as condições de contorno em  $x = x_0$  e  $x = x_1$ .

$$- \frac{d}{dx} \left( \frac{\alpha}{p} \frac{dv}{dx} \right) + \beta v = f(x) \quad (3.43)$$

Seja, então, encontrar o funcional correspondente à equação diferencial:

Para isso, tem-se de percorrer o caminho inverso do descrito acima.

Rayleigh-Ritz.

As vezes, há equações diferenciais muito difíceis de resolver, sendo mais fácil obter soluções aproximadas, utilizando a formulagem variacional e o método de

que é a equação de equilíbrio da viga.

$$EIv'' - b = 0$$

Após a imposição da condição de estacionariedade ( $\delta H = 0$ ) desse funcional, e de algumas passagens algébricas, chega-se à equação diferencial:

$$H = \int_a^b \left[ \frac{EI}{2} (v'')^2 - bv \right] dx$$

forma:

Assim, para uma viga com carregamento transversal uniforme sobre seu eixo, o funcional que representa a energia potencial total, para essa viga, é da forma:

No Capítulo 2, os problemas foram expostos a partir da formulagem variacional, resultando uma equação diferencial – equação de Euler-Lagrange – que,

resolvida, fornece a função minimizada da referida funcional.

A partir da equação diferencial que rege um determinado problema, encon-

### Exemplo 5

$x$	$v_1(x)$	$v_2(x)$	$v_3(x)$	exata
0,1	0,015000	0,022112	0,021124	0,019727
0,2	0,026666	0,040000	0,037691	0,036666
0,3	0,035000	0,053405	0,050033	0,049990
0,4	0,040000	0,062069	0,058260	0,059226
0,5	0,041666	0,065733	0,062266	0,063770

Quadro 1 – Método de Galerkin e solução exata.

No quadro abaixo, tem-se uma comparação entre os valores calculados com as funções aproximadoras e a solução exata.

$$\int_{x_0}^{x_1} \delta v \left[ -\frac{d}{dx} \left( \alpha \frac{dv}{dx} \right) + \beta v - f(x) \right] dx = 0$$

Desenvolvendo as derivadas indicadas no integrando, tem-se:

$$\int_{x_0}^{x_1} \left[ -\delta v \frac{d\alpha}{dx} \frac{dv}{dx} - \delta v \alpha \frac{d^2v}{dx^2} + \delta v \beta v - \delta v f(x) \right] dx = 0 \quad (3.44)$$

Para que  $v$  e  $\delta v$  tenham a mesma ordem de derivada, elimina-se a derivada segunda através do seguinte artifício:

$$\alpha \frac{d}{dx} \left( \delta v \frac{dv}{dx} \right) = \alpha \frac{d\delta v}{dx} \frac{dv}{dx} + \alpha \delta v \frac{d^2v}{dx^2}$$

ficando a equação (3.44) com a forma:

$$\int_{x_0}^{x_1} \left[ \alpha \frac{d\delta v}{dx} \frac{dv}{dx} + \delta v \beta v - \delta v f(x) \right] dx - \int_{x_0}^{x_1} \left[ \delta v \frac{d\alpha}{dx} \frac{dv}{dx} + \alpha \frac{d}{dx} \left( \delta v \frac{dv}{dx} \right) \right] dx = 0 \quad (3.45)$$

A segunda integral pode ser escrita em forma mais adequada para mostrar que ela se anula:

$$\begin{aligned} \int_{x_0}^{x_1} \left[ \delta v \frac{d\alpha}{dx} \frac{dv}{dx} + \alpha \frac{d}{dx} \left( \delta v \frac{dv}{dx} \right) \right] dx &= \int_{x_0}^{x_1} \frac{d}{dx} \left[ \alpha \left( \delta v \frac{dv}{dx} \right) \right] dx = \\ &\quad \left. \alpha \delta v \frac{dv}{dx} \right|_{x=x_0}^{x=x_1} = 0 \end{aligned}$$

já que  $\delta v$  é nulo nos pontos  $x_0$  e  $x_1$ .

Então, resta apenas a primeira integral da equação (3.45):

$$\int_{x_0}^{x_1} \left[ \alpha \frac{d\delta v}{dx} \frac{dv}{dx} + \delta v \beta v - \delta v f(x) \right] dx = 0 \quad (3.46)$$

Essa equação é a forma fraca da equação diferencial (3.43). Com as propriedades dos funcionais apresentadas no Capítulo 2, que permitem que o operador variacional abranja toda a integral que identifica o funcional, a equação (3.46) fica:

$$\delta \int_{x_0}^{x_1} \left[ \frac{1}{2} \alpha \left( \frac{dv}{dx} \right)^2 + \frac{1}{2} \beta v^2 - v f(x) \right] dx \equiv \delta Y = 0$$

sendo o funcional dado por:

$$Y = \frac{1}{2} \int_{x_0}^{x_1} \left[ \alpha \left( \frac{dv}{dx} \right)^2 + \beta v^2 \right] dx - \int_{x_0}^{x_1} v f(x) dx$$